

# VIGILANCIA SINÓPTICA DE SUDAMÉRICA

JUNIO 2021



# RESUMEN MENSUAL

Fig. 1

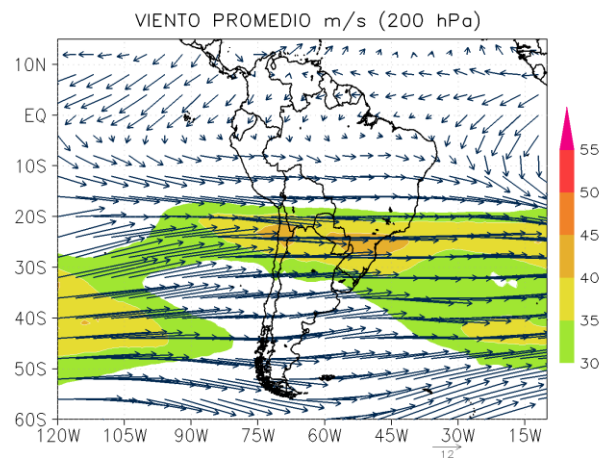


Fig. 2

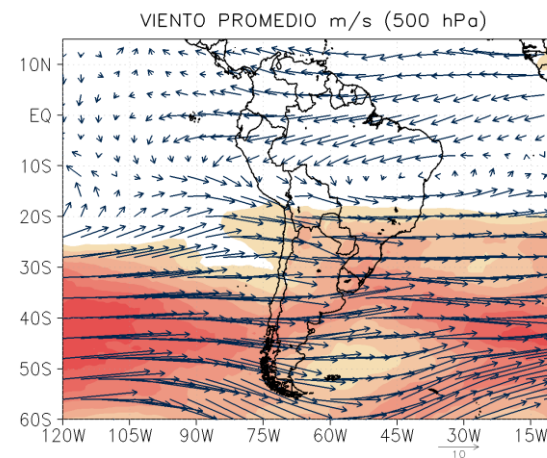
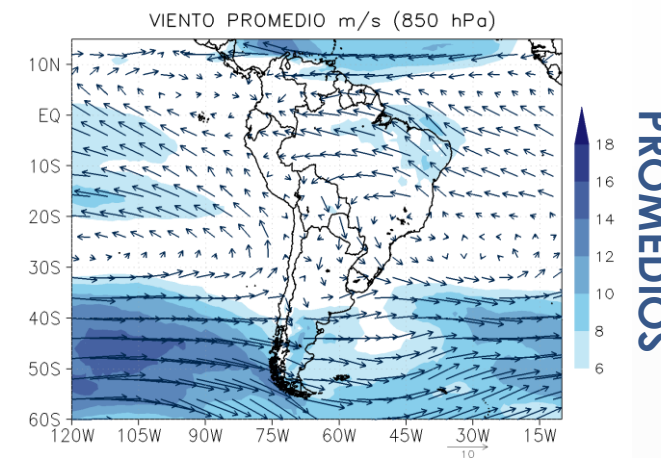


Fig. 3



PROMEDIOS

En **niveles altos**, predominó la dorsal tropical en latitudes boreales, por lo tanto, permitió la incursión de vientos del oeste, en promedio, sobre el sur de Perú, favoreciendo así las anomalías negativas de precipitación en dicha región. Por otro lado, dominó la Corriente en Chorro Subtropical entre los 20 y 30°S, lo que permite una intensificación de los movimientos verticales debido a la circulación ageostrófica presente.

En el promedio de viento de **niveles medios**, dominó una circulación anticiclónica desde la Amazonia sobre el país, sin embargo, sistemas de vaguada sobre el centro-sur del Perú, permitieron una convergencia de flujos y episodios ocasionales de precipitación y descensos de temperatura.

En **niveles bajos**, el Anticiclón del Pacífico Sur (APS), en promedio, presentó valores de presión por encima de su normal, aunque, con un núcleo al oeste de su posición climatológica, situación que reforzó el gradiente de presión principalmente en la costa centro-norte de Chile. Del mismo modo, el Anticiclón del Atlántico Sur (AAS) presentó un núcleo al oeste de su posición normal, lo que permitió las anomalías negativas de agua precipitable sobre la Amazonia, y la convergencia de flujos sobre el norte de Brasil, sur de Venezuela, Surinam, Guyana y Guyana Francesa.

Fig. 4

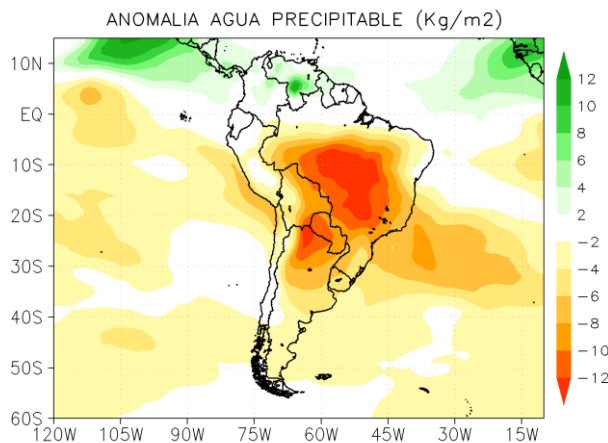
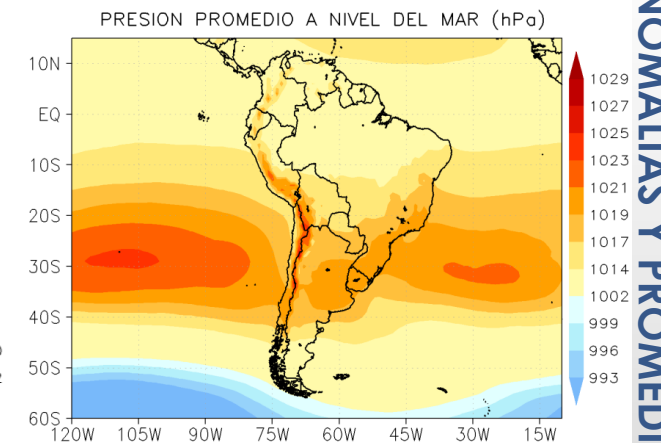


Fig. 5



ANOMALÍAS Y PROMEDIOS

# DECADIARIAS

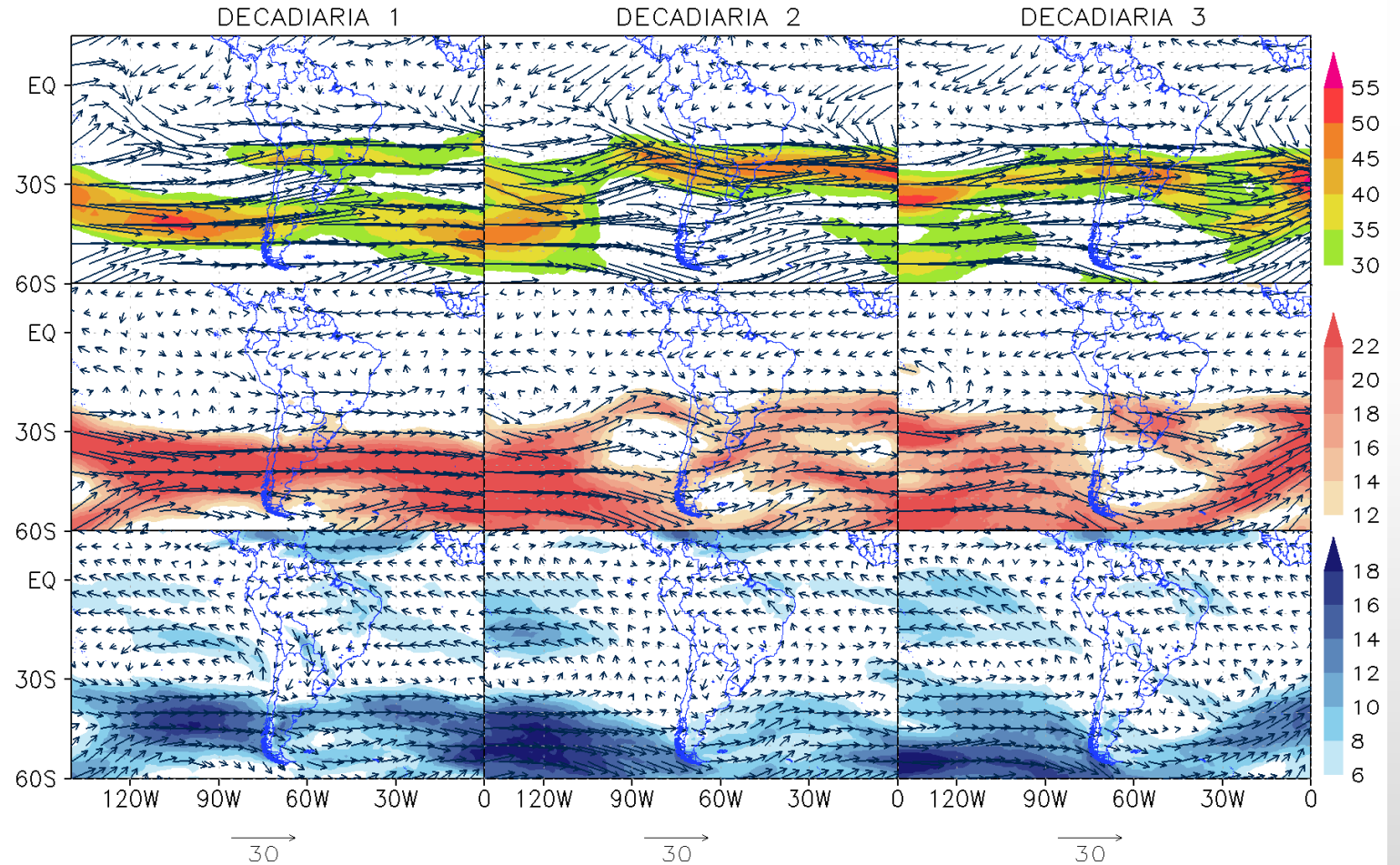
Durante la **1ra decadiaria**, predominó vientos del oeste y/o patrones de vaguada sobre gran parte del territorio debido al debilitamiento de la dorsal tropical; por otro lado, en niveles medios, se observó una convergencia de flujos sobre la Cordillera de los Andes, situación que permitió episodios temporales de precipitación líquida y sólida. En niveles bajos, se presentó un reforzamiento de los flujos sobre el norte de Brasil así como sobre el centro-norte de Argentina, patrones que favorecen la advección de humedad.

Durante la **2da decadiaria**, la dorsal tropical se fortaleció y permitió regiones divergentes principalmente sobre el norte del país. En niveles medios, sistemas de vaguada se fortalecen frente a la costa norte de Chile. Finalmente, en niveles bajos, como consecuencia de los sistemas de vaguada superiores, se presentó el mayor gradiente de presión alejado de la costa oeste Sudamericana.

Durante la **3ra decadiaria**, vientos del oeste vuelven a dominar sobre el centro-norte de Perú, lo que favorece las anomalías negativas de precipitación y temperatura mínima en la región. En niveles medios, flujos del este se presentan fortalecidos sobre el norte del país y permite la migración de flujos del Pacífico hacia el sur. Por otro lado, en niveles bajos, se fortaleció el gradiente de presión costero frente a la costa centro-sur del Perú.

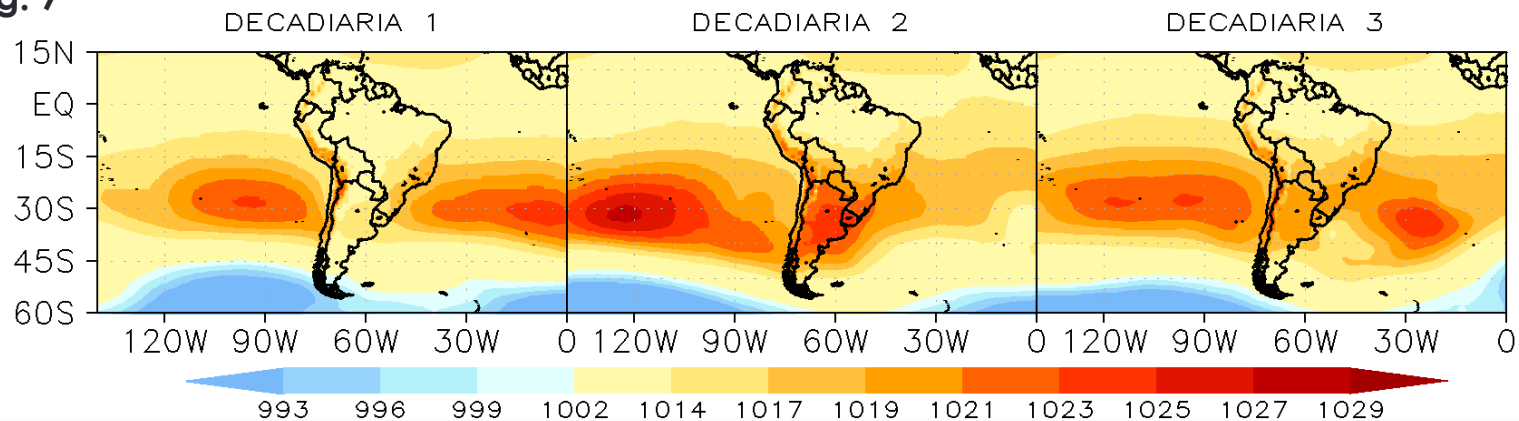
Fig. 6

VIENTO EN NIVELES ALTOS, MEDIOS Y BAJOS



# PRESIÓN REDUCIDA A NIVEL DEL MAR

Fig. 7

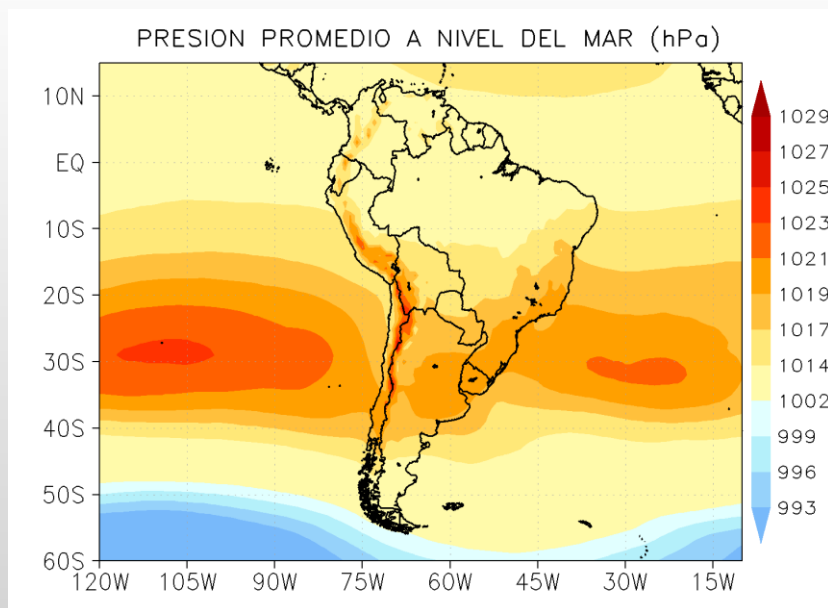


En la **primera decadiaria**, el Anticiclón del Pacífico Sur (APS) presentó valores de presión por encima de su normal, posición que favoreció un gradiente de presión intensificado en la costa centro-norte de Chile. Del mismo modo, el Anticiclón del Atlántico Sur (AAS), presentó valores de presión por encima de su normal y una posición climatológica.

En la **segunda decadiaria**, el APS continúa con valores de presión por encima de su normal, sin embargo, su núcleo se posicionó más alejado de la costa y por lo cual, permitió un gradiente costero más debilitado. Así mismo, el AAS presentó valores de presión por debajo de su normal y un patrón desconfigurado.

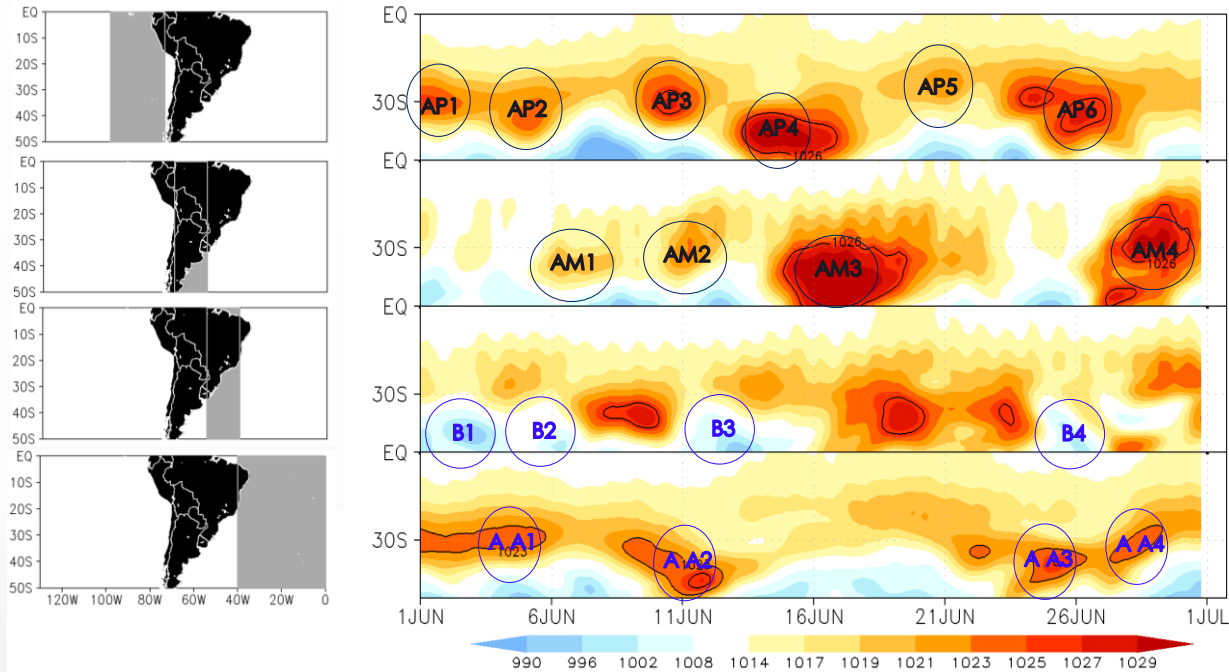
En la **tercera decadiaria**, el APS mantuvo valores de presión por encima de su normal, y favoreció un mayor gradiente frente a la costa Peruana.

Fig. 8



# HOVMOLLER PRESIÓN

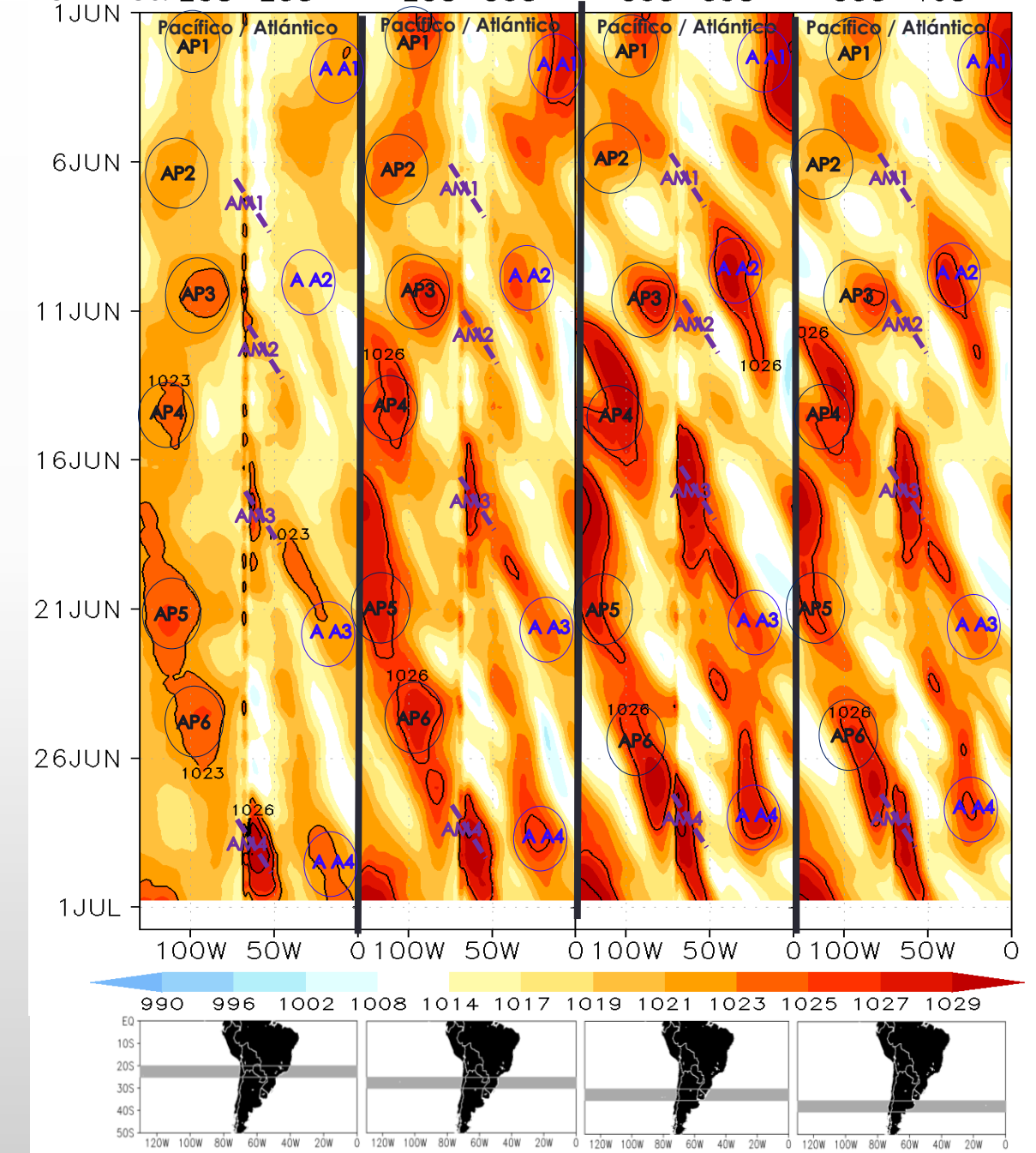
Fig. 9



En el mes de junio, se resaltó 6 núcleos del APS, siendo los más intensos, los que se presentaron durante la segunda y tercera decadiaria, con valores de presión superiores a los 1027 hPa. Por otro lado, se observó 4 núcleos del AAS, el más intenso se registró durante la segunda semana, con valores superiores a los 1026 hPa.

De otro lado, se presentó 4 altas migratorias (AMs), las cuales provocaron importantes acumulados de lluvia en la Amazonía Peruana así como 3 eventos de friaje (Noveno, Décimo y Undécimo friaje, disponibles en <https://www.senamhi.gob.pe/?p=aviso-meteorologico>). Los sistemas de baja presión, por otro lado, muestran una mayor frecuencia durante la primera y segunda decadiaria.

Fig. 10  
HOVMOLLER PRESIÓN  
N ——— S  
PROMEDIOS: 20S–25S    25S–30S    30S–35S    35S–40S

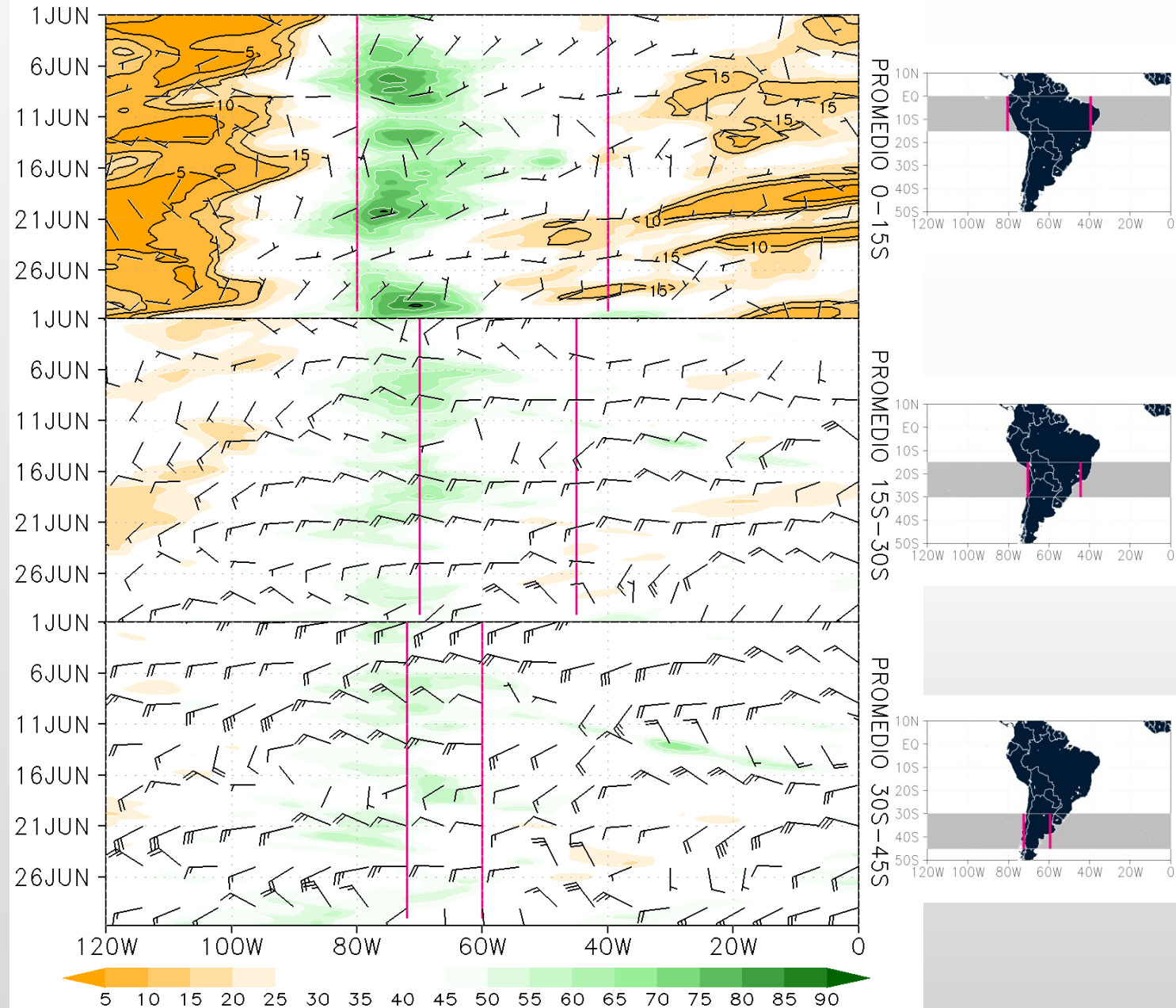




## NIVELES MEDIOS

- En latitudes tropicales (0-15°S), se presentó los mayores valores de humedad relativa en el país durante la segunda y tercera decadiaria, dichos valores fueron consecuencia de flujos del este predominantes y sistemas de vaguada desde el Pacífico.
- En la zona central de Sudamérica (15-30°S) así como en latitudes extratropicales (30-45°S), se observó los mayores grados de humedad relativa durante las primeras decadiarias. En general, dichos eventos de saturación atmosférica corresponden a sistemas de vaguada y/o circulaciones ageostróficas debido a la corriente en chorro.

Fig. 12 HOVMOLLER HUMEDAD RELATIVA PROMEDIO 500-600 (sombreado) Y VIENTO (barbas) 500 hPa PROMEDIO



## NIVELES BAJOS

- En latitudes cercanas al Ecuador, se observó valores de relación de mezcla superiores a los 12 g/Kg durante las primeras decadiarias, como consecuencia de la convergencia de flujos y mayor componente zonal hacia la Cordillera de los Andes. Sin embargo, en las últimas semanas, prevaleció una componente sureste en la Amazonia occidental.
- En latitudes entre 15-30°S y latitudes extratropicales (30-45°S), se presentó los mayores valores de relación de mezcla durante la primera decadiaria, condición reforzada por la circulación ageostrófica de niveles medios y altos que permitió la intensificación del Jet de Bajos Niveles hasta el centro-norte de Argentina.

Fig. 13 HOVMOLLER RELACIÓN DE MEZCLA (g/kg) (shaded) Y VIENTO (barbas) 925 hPa PROMEDIO (barbas) 925 hPa PROMEDIO

